

室蘭工業大学 正員 岸 徳光
 " " 松岡健一
 北大 工学部 " 能町純雄

1. まえがき

近年、土木、建築構造物においても衝撃荷重に対する安全性の検討が要求されるようになってきた。特に、電力施設構造物の場合はその重要性から世界各国で実規模の耐衝撃実験が行われているようである。米国におけるTornado ミサイル防護壁の耐衝撃実験はそのよい例である。我が国では、電力中央研究所において、種々の耐衝撃性の問題に対処すべく、大型衝撃実験装置を設置して、電力関連RC構造物の関する系統的な実験が行われている。著者等は、これまで構造物の耐衝撃性に関する基礎的な研究として、直線梁部材（複合合成梁を含む）や、円弧梁あるいはアーチ形矩形板等に対する小型模型を用いた弹性衝撃に関する実験的研究や解析理論の妥当性について検討を行ってきた²⁾。

ここでは、クーリングタワーや各種容器構造物に代表される回転シェル構造物の耐衝撃性検討に有効と思われる円錐台形の要素を用いた有限要素理論による解法を試みその妥当性を検討する。

2. 解析理論

軸対称シェルの帶板要素には母線を曲線とする方法もあるが、ここでは直線とする円錐台要素によること定式化することとする。定式化の方法は文献3)の説明過程に従って行った。以下にその概要を示す。

(1). 要素の変位仮定。円錐台要素において図-1のように変位成分を仮定する。任意点の変位分布を、面内変位 u_i , v_i に対して s の線形変化を、また、法線方向変位 ω_i を3次放物線に仮定すると、 i 要素内の各変位は、

$$u = u^{(i)} u_i + u^{(4)} v_i, \quad v = v^{(i)} v_i + v^{(4)} v_i \quad \{ \dots (1)$$

$$\omega = \omega^{(i)} \omega_i + \omega^{(4)} \omega_i + \beta^{(i)} \beta_i + \beta^{(4)} \beta_i$$

$$\text{ただし } u^{(i)} = U^{(i)} = 1 - \xi, \quad v^{(i)} = V^{(i)} = \xi$$

$$\omega^{(i)} = 1 - 3\xi^2 + 2\xi^3, \quad \omega^{(4)} = l(\xi - 2\xi^2 + 3\xi^3) \quad \} \dots (2)$$

$$\theta^{(i)} = 3\xi^2 + 2\xi^3, \quad \theta^{(4)} = l(-\xi^2 + \xi^3) \quad \text{である。}$$

(2). 歪と変位の関係式 文献3)に従って各歪成分を変位成分で示すと、

$$\varepsilon_s = \frac{\partial u}{\partial s}, \quad \varepsilon_\theta = \frac{\partial v}{r \partial \theta} + \frac{1}{r} \{ u \sin \theta + v \cos \theta \}, \quad \gamma_{s\theta} = \frac{\partial v}{\partial s} - \frac{\sin \theta}{r} v + \frac{1}{r} \frac{\partial v}{\partial \theta}$$

$$\chi_1 = -\frac{\partial^2 w}{\partial s^2}, \quad \chi_2 = -\frac{\partial^2 w}{r^2 \partial \theta^2} + \frac{\cos \theta}{r^2} \frac{\partial u}{\partial \theta} - \frac{\sin \theta}{r} \frac{\partial w}{\partial s}$$

$$\tau_n = 2 \left\{ -\frac{1}{r} \frac{\partial^2 w}{\partial s \partial \theta} + \frac{\sin \theta}{r^2} \frac{\partial w}{\partial \theta} + \frac{\cos \theta}{r} \frac{\partial v}{\partial s} - \frac{\cos \theta \sin \theta}{r^2} v \right\} \quad \dots (3)$$

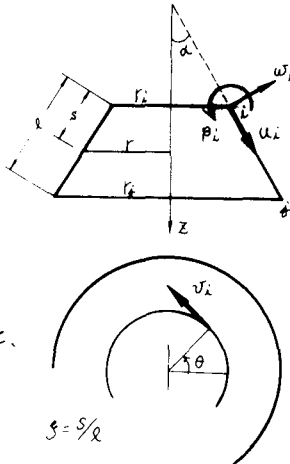


図-1. 一円錐台要素の
要素座標および変位成分

上式に式(1)を代入して整理すると歪ベクトルは変位の θ に関する2回の微分方程式として得られる。ここで、 θ 方向に有限Fourier変換を施して1次数を減じる。すなわち、 $\varepsilon_s, \varepsilon_\theta, \tau_n$ に関してはSine変換、他はCosine変換である。部分積分を施して整理すると、歪ベクトルの像函数ベクトルは下式(4)のように示される。ここで、 $\{\bar{C}_m[\varepsilon]\}$ は有限Fourier変換を意味する

$$\{\bar{C}_m[\varepsilon]\} = [B] \{\bar{C}_m[\delta]\} \quad \dots (5)$$

(3). 断面力と歪の関係式 要素を等方性体と仮定すると、断面力ベクトルは歪成分を用いて容易に表わすことができる。式(5)と同様像関数(6)を用いて示すと、

$$\{\bar{C}_m[F]\} = [D] \{\bar{C}_m[\varepsilon]\} \quad \dots (6)$$

(4) 要素の剛性関係式. 仮想仕事の原理を用いて要素の剛性関係式を求めるとき、単位ラジアン当たりの要素においては $\{\bar{C}_m[f, r]\} = \int_0^l [B]^T [D] [B] r ds \cdot \{\bar{C}_m[\delta]\} + \int_0^l [N]^T [N] r ds \cdot \{\ddot{\bar{C}}_m[\delta]\}$... (7)

ここで右辺オイ項目 積分部分が剛性マトリックス $[K]$ 、左2項目が質量マトリックス $[M]$ として示される。

(5) 構造全体の運動方程式. 式(7)を全体座標系へ変換し、力の釣合いと変位の適合条件を考慮して重ね合せを行い、構造全体の剛性関係式(8)を得る。 $[K_{st}] \{\bar{C}_m[\Delta_{st}]\} + [M_{st}] \{\ddot{\bar{C}}_m[\Delta_{st}]\} = \{r \bar{C}_m[P]\}$... (8)

さらに固有値、固有ベクトルを求め、直交性を考慮

して非連成一次元運動方程式に変換する。 Duhamel 積分を施して復元力の基準関数ベクトルを求め、これを右方角に逆変換することによって真の動的変位が求まる。従って、歪、断面力も容易に求めることができる。

(6) 分割による精度の検討(固有値) 半径 2.5 cm、厚さ 1 cm、長さ 2 m の鋼製円筒体を用いて、固有値に関する精度の検討を行った。表-1 に円周方向モード次数 $m=1$ 、スパン中央部に閉じて対称な変形モードの場合について示している。軸方向モード 1 のときの理論解は、 $V = 0.0457$ である。表より、分割数の増加により、上方より収斂していることが明かである。ただし、N は半スパンの分割数であり、数値積分はガウスの求積法を用い、 $m=5$ としている。また、数値はスパンを半波長とする位相速度で示している。

3. 数値解例およびまとめ

図-2 に半径 14.5 cm、長さ 1 m のアクリル円筒体模型に $W = 1.9 \text{ kg}$ の落錘によつて衝撃荷重を載荷した場合の実験結果と理論結果(板要素を適用して円を折線近似した方法と、本文で示した円錐台シェル要素を用いる方法)を示している。理論解結果は两者ともほぼ同様の分布を示している。実験結果と比較すると、多少理論が大きめの値を示しているが、定性的にはほぼ妥当なものと考えられる。板要素を用いる方法は、円筒体の解析に限界があるが、円錐台要素を用いる場合は構造体を忠実に解析することが可能であり、特にクリンクタワー等各種容器構造物の解析に非常に有効な方法であると考える。

4. 参考文献

- 1) 4th Smirt session 7, (1977)
- 2) H.Takano et al J.N.C.T.H. Vol.28 (1980) (培風館)
- 3). (日) 股重也著「シェル構造解析」
- 4). 岸 浩光 et al. 年譜 1982

Mode N	2	4	8	16	20
1	0.6266	0.1931	0.0750	0.0507	0.0484
2	3.5242	1.4950	0.6659	0.4529	0.4313
3	25.5178	3.7546	1.8202	1.2415	1.1760

Table 1 Convergence of phase velocity
for $M=1$ ($V=C/C_s$)

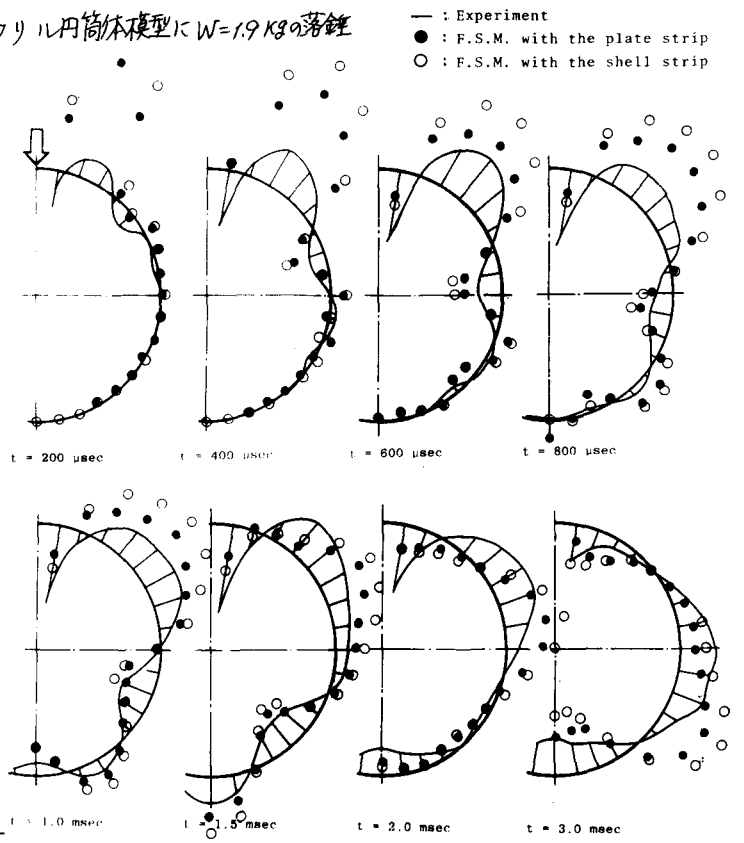


図-2. スパン中央部周方向歪分布の実験結果と理論解析結果との比較